

振动方程差分格式研究以及右端项 Laplace 变换迭代研究

李佳昊

2024.2.23

1 差分格式

1.1 方程及初边值条件

为研究振动方程的差分法求解，考虑如下简化的 PDE 及初边值条件

$$\frac{\partial^4 d(x, t)}{\partial x^4} + \frac{\partial d(x, t)}{\partial t} + \frac{\partial^2 d(x, t)}{\partial t^2} = f(x, t) \quad x \in (0, l), t \in (0, T) \quad (1)$$

$$\begin{aligned} d(x, 0) &= 0 \\ \frac{\partial d(x, 0)}{\partial t} &= 0 \end{aligned} \quad (2)$$

$$\begin{aligned} d(0, t) &= 0 \quad d(l, t) = 0 \\ \frac{\partial^2 d(0, t)}{\partial x^2} &= 0 \quad \frac{\partial^2 d(l, t)}{\partial x^2} = 0 \end{aligned} \quad (3)$$

可以验证，当 $f(x, t)$ 满足

$$f(x, t) = \left(\frac{\pi}{l}\right)^4 t^2 \sin \frac{\pi x}{l} + 2t \sin \frac{\pi x}{l} + 2 \sin \frac{\pi x}{l} \quad (4)$$

时，上述 PDE 及初边值条件有解析解：

$$d(x, t) = t^2 \sin \frac{\pi x}{l} \quad (5)$$

1.2 网格划分

对于 x 轴使用 n_x 个节点进行均匀剖分，对于 t 轴使用 n_t 个节点进行均匀剖分，则 x 方向步长为 $h_x = l/(n_x - 1)$ ， t 方向步长为 $h_t = T/(n_t - 1)$ 。记网格节点为 (x_j, t_k) , $(j = 1, \dots, n_x, k = 1, \dots, n_t)$

1.3 化为方程组离散

令 $d_1(x, t) = d(x, t)$ $d_2(x, t) = \frac{\partial d(x, t)}{\partial t}$, 就将原方程化为两个关于时间只含一阶导数的方程组如下

$$\begin{aligned} \frac{\partial^4 d_1(x, t)}{\partial x^4} + d_2(x, t) + \frac{\partial d_2(x, t)}{\partial t} &= f(x, t) \\ \frac{\partial d_1(x, t)}{\partial t} &= d_2(x, t) \end{aligned} \quad x \in (0, l), t \in (0, T) \quad (6)$$

$$\begin{aligned} d_1(x, 0) &= 0 \\ d_2(x, 0) &= 0 \end{aligned} \quad (7)$$

$$\begin{aligned} d_1(0, t) &= 0 \quad d_1(l, t) = 0 \\ \frac{\partial^2 d_1(0, t)}{\partial x^2} &= 0 \quad \frac{\partial^2 d_1(l, t)}{\partial x^2} = 0 \end{aligned} \quad (8)$$

1.4 显格式离散

将各个网格点的 $d_1(x, t)$ 的数值解 $u(x_j, t_k)$ 与 $d_2(x, t)$ 的数值解 $v(x_j, t_k)$ 分别简记为 u_j^k, v_j^k , 右端项 $f(x_j, t_k)$ 简记为 f_j^k , 使用 2 阶中心差分离散关于 x 的 4 阶导数, 使用向前差分离散关于 t 的 1 阶导数。

$$\begin{aligned} \frac{\partial^4 d_1(x_j, t_k)}{\partial x^4} &= \frac{1}{h_x^4} (u_{j+2}^k - 4u_{j+1}^k + 6u_j^k - 4u_{j-1}^k + u_{j-2}^k) \quad (j = 3, \dots, n_x - 2) \\ \frac{\partial d_1(x_j, t_k)}{\partial t} &= \frac{1}{h_t} (u_j^{k+1} - u_j^k) \quad (k = 1, \dots, n_t - 1) \\ \frac{\partial d_2(x_j, t_k)}{\partial t} &= \frac{1}{h_t} (v_j^{k+1} - v_j^k) \quad (k = 1, \dots, n_t - 1) \end{aligned} \quad (9)$$

使用单边二阶差分离散边界条件中关于 x 的二阶导数。

$$\begin{aligned} \frac{\partial^2 d_1(0, t_k)}{\partial x^2} &= \frac{1}{h_x^2} (u_1^k - \frac{5}{2}u_2^k + 2u_3^k - \frac{1}{2}u_4^k) = 0 \\ \frac{\partial^2 d_1(l, t_k)}{\partial x^2} &= \frac{1}{h_x^2} (\frac{1}{2}u_{n_x-3}^k - 2u_{n_x-2}^k + \frac{5}{2}u_{n_x-1}^k - u_{n_x}^k) = 0 \end{aligned} \quad (10)$$

将 (9)(10) 式代入方程组 (6) 及其边界条件就得到显式格式

$$\begin{aligned} v_j^{k+1} &= (1 - h_t)v_j^k + \frac{h_t}{h_x^4} (-u_{j+2}^k + 4u_{j+1}^k - 6u_j^k + 4u_{j-1}^k - u_{j-2}^k) + h_t f_j^k \quad (j = 3, \dots, n_x - 2) \\ u_j^{k+1} &= h_t v_j^k + u_j^k \quad (j = 3, \dots, n_x - 2) \\ u_2^{k+1} &= \frac{2}{5} \cdot (2u_3^{k+1} - \frac{1}{2}u_4^{k+1}) \\ u_{n_x-1}^{k+1} &= \frac{2}{5} \cdot (2u_{n_x-2}^{k+1} - \frac{1}{2}u_{n_x-3}^{k+1}) \end{aligned} \quad (11)$$

1.5 显格式的稳定性分析

记网格比为 $r = \frac{h_t}{h_x^4}$, (j, k) 网格节点处的位移与速度误差分别记为 $\epsilon_j^k(u), \epsilon_j^k(v)$, 记 $\epsilon_j^k = [\epsilon_j^k(u) \quad \epsilon_j^k(v)]^T$, 则

$$\epsilon_j^{k+1} = B_1(\epsilon_{j-2}^k + \epsilon_{j+2}^k) + B_2(\epsilon_{j-1}^k + \epsilon_{j+1}^k) + B_3\epsilon_j^k + h_t F_j^k \quad (12)$$

其中

$$B_1 = \begin{bmatrix} -r & 0 \\ 0 & 0 \end{bmatrix} \quad B_2 = \begin{bmatrix} 4r & 0 \\ 0 & 0 \end{bmatrix} \quad B_3 = \begin{bmatrix} -6r & 1 - h_t \\ 1 & h_t \end{bmatrix} \quad F_i^j = \begin{bmatrix} f_j^k - f_j^{k-1} \\ 0 \end{bmatrix} \quad (13)$$

采用 Fourier 分析法, 令 $\epsilon_j^k = \xi_L^k e^{i\beta j h}$, 代入方程 (12) 并消去公因子得到增长因子矩阵

$$G = \begin{bmatrix} -16r \sin^4 \frac{\beta h_x}{2} & 1 - h_t \\ 1 & h_t \end{bmatrix} \quad (14)$$

可以验证当 $16r \sin^4 \frac{\beta h_x}{2} < 1$ 时有 $\rho(G) < 1$, 即 $r < \frac{1}{16}$ 时格式是零稳定的。下面考虑依右端项的稳定性, 方程 (12) 被化为

$$\xi_L^{k+1} = G\xi_L^k + \frac{h_t}{e^{i\beta j h}} F_j^k \quad (15)$$

若 $f(x, t)$ 关于 t 满足 Lipschitz 条件则有

$$\xi_L^{k+1} \leq G^k \xi_L^1 + [I + \cdots + G^{k-1}] \frac{h_t}{e^{i\beta j h}} \begin{bmatrix} Ch_t \\ 0 \end{bmatrix} \quad (16)$$

其中 C 为 Lipschitz 常数, 若 $|\lambda(G)| = 1 + O(h_t)$, 事实上我们有 $|\lambda(G)| < 1$, 则

$$|\lambda(I + \cdots + G^{k-1})| = \left| \frac{1 - \lambda^k(G)}{1 - \lambda(G)} \right| = \left| \frac{(1 + O(h_t))^k - 1}{O(h_t)} \right| = 1 + O(h_t) \quad (17)$$

因此当格式按初值稳定时也是按右端项稳定的。于是可知 $r < \frac{1}{16}$ 为格式稳定的充分条件, 称之为稳定性条件。

1.6 数值实验

我们对以上数值解法进行实验, 取 $l = 2.93, T = 6$ 取定空间结点数为 $n_x = 22$, 分别取时间节点数为 $n_t = 2 \times 10^4 + 1, 4 \times 10^4 + 1, 8 \times 10^4 + 1$, 此时网格比分别为 $r = 0.7916, 0.3958, 0.1979$, 考察 u, v 与 $d1, d2$ 在终止时刻的二范数误差。

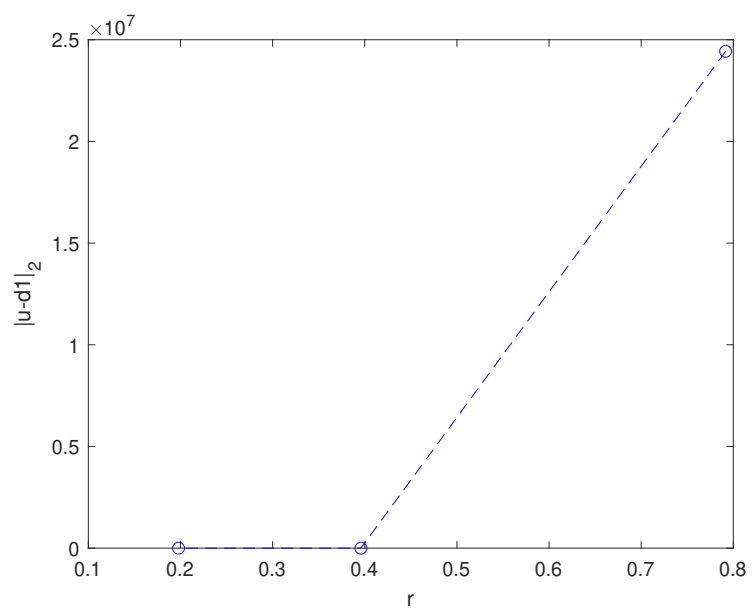


Figure 1: 函数值数值解与真解误差

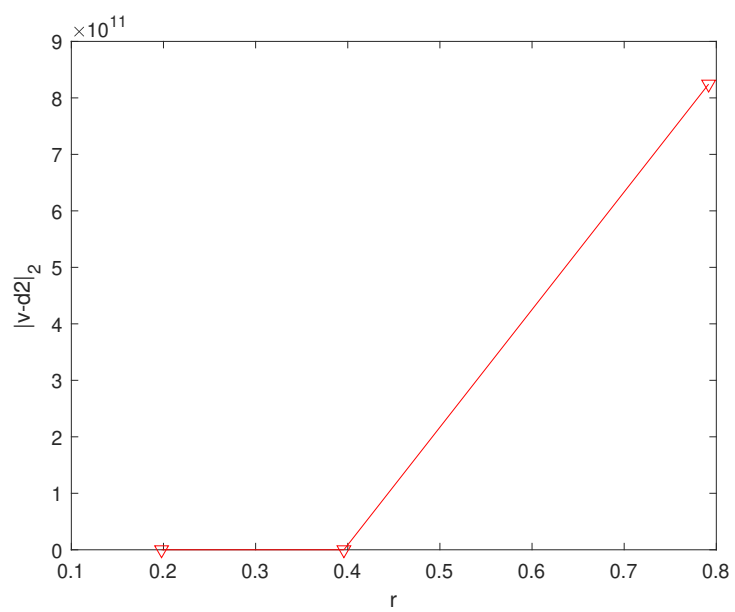


Figure 2: 导数值数值解与真解误差

可以观察到随着时间步长减小, 网格比减小到接近 $\frac{1}{16} = 0.0625$ 时格式收敛。下面考察当网格比满足稳定性条件 $r < \frac{1}{6}$ 时 u, v 与 $d1, d2$ 在终止时刻的二范数误差, 分别取时间节点数 $n_t = 3 \times 10^5 + 1, 6 \times 10^5 + 1, 12 \times 10^5 + 1$, 此时网格比分别为 $r = 0.0528, 0.0264, 0.0132$ 。

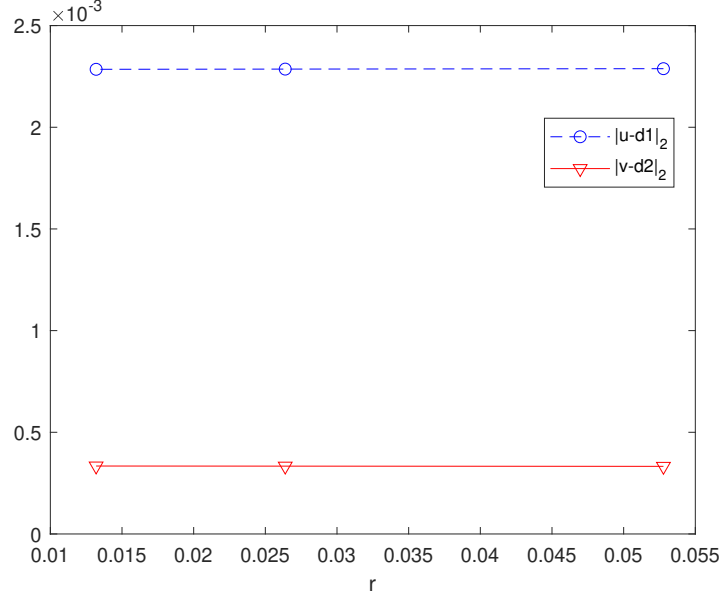


Figure 3: 稳定情况误差

可以看到在网格比满足稳定性条件时误差数量级均小于等于 10^{-3} 。这与理论分析的结果相一致。

2 使用差分法求解振动方程

2.1 振动方程

考虑燃料棒振动的一维问题, 即对于三维振动模型 (Figure 4) 只考虑其在 y 方向上的振动。则 y 轴方向燃料棒偏移中性轴的位移满足方程与初边值条件:

$$EI \frac{\partial^4 d(x, t)}{\partial x^4} + c \frac{\partial d(x, t)}{\partial t} + \rho \frac{\partial^2 d(x, t)}{\partial t^2} = f_e(x, t) + f_s(d(x, t), x, t) \quad x \in (0, l), t \in (0, T) \quad (18)$$

$$\begin{aligned} d(x, 0) &= 0 \\ \frac{\partial d(x, 0)}{\partial t} &= 0 \end{aligned} \quad (19)$$

$$\begin{aligned} d(0, t) &= 0 & d(l, t) &= 0 \\ \frac{\partial^2 d(0, t)}{\partial x^2} &= 0 & \frac{\partial^2 d(l, t)}{\partial x^2} &= 0 \end{aligned} \quad (20)$$

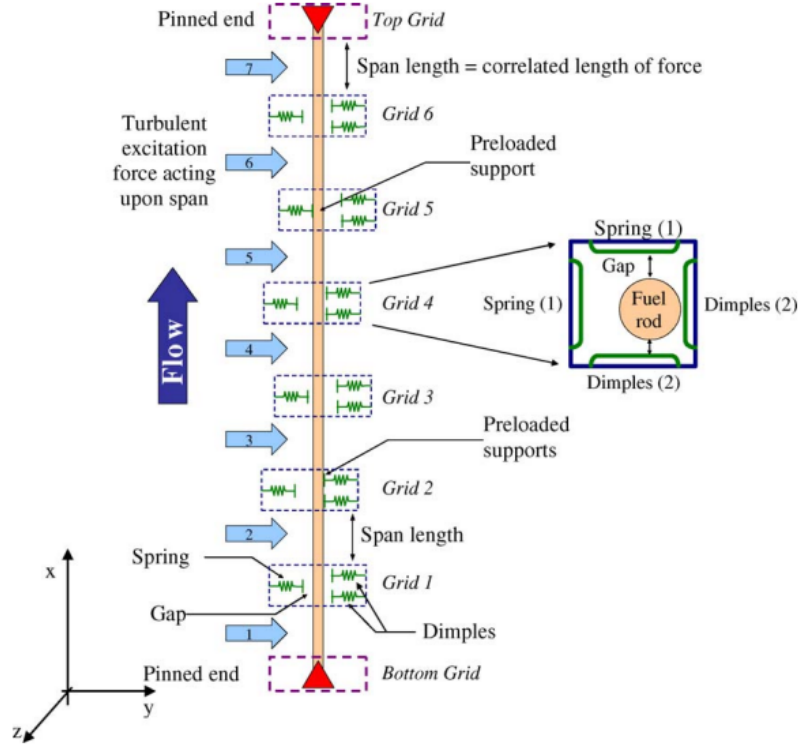


Figure 4: 燃料棒振动模型

取 $EI = C = \rho = 1$ ，使用第 1 节中差分格式 (11) 对方程 (18) 进行离散，并进行数值实验。

2.2 数值实验

取 $l = 2.93m$ ，单元间隙为 $254\mu m$ ，模拟时间 $T = 6s$ ，格架数为 6 个，采用均匀剖分，空间使用 22 个节点数，时间步长取为 $20\mu s$ 。

根据参考文献以及初步数值实验结果，我们观察到冲击时间相对整体模拟时间较短，因此忽略 z 轴钢凸对燃料棒的摩擦力，只考虑 y 轴上燃料棒与格架的支撑力作用，取钢凸与弹簧的弹性系数分别为 0.1, 1。

计算冲击功时采用梯形公式计算数值积分。

参数随机化方面，我们将激振力与初始时刻燃料棒的初始位置设置为随机变量。激振力在每跨上都服从均值为 0 标准差为 $0.2N$ 的正态分布，且之间相互独立。初始时刻燃料棒距离钢凸的间隙服从均值为 0 标准差为 $127\mu m$ 的正态分布。初步进行了 100 次蒙特卡洛模拟。计算 6 个格架处的冲击功均值以及频数直方图。

Table 1: 6 个格架处磨蚀功均值

格架索引	1	2	3	4	5	6
磨蚀功均值	$3.36 \times 10^{-8}w$	$4.41 \times 10^{-8}w$	$5.19 \times 10^{-8}w$	$5.15 \times 10^{-8}w$	$5.74 \times 10^{-8}w$	$3.79 \times 10^{-8}w$

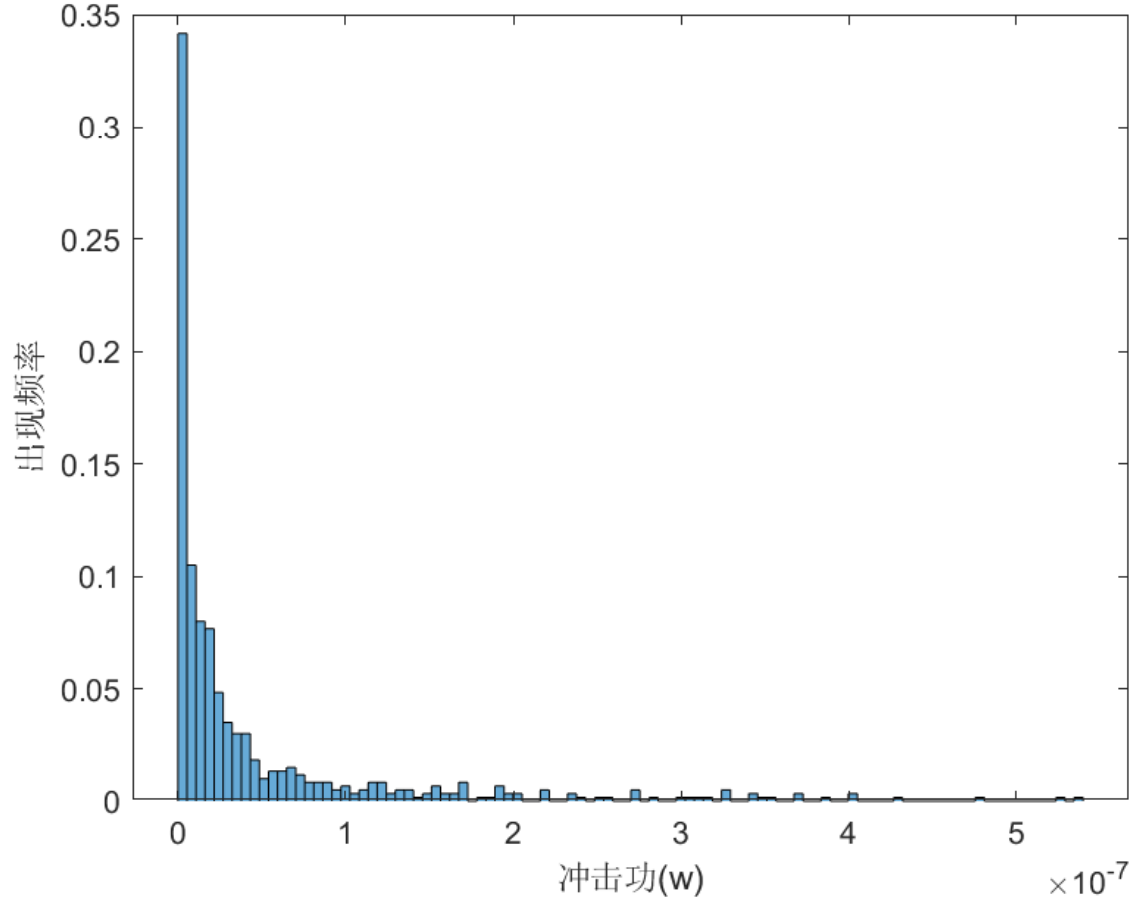


Figure 5: 冲击功频率图

另外单次模拟所花时间约为 $1.5s$ ，100 次蒙卡模拟时间约为 $164.758549s$

3 Laplace 变换方法

若采用 Laplace 变换的方法，振动方程可化为：

$$EI \frac{\partial^4 D(x, s)}{\partial x^4} + csD(x, s) + \rho s^2 D(x, s) = F(x, s) \quad x \in (0, l) \quad (21)$$

$$\begin{aligned} D(0, s) &= 0 & D(l, s) &= 0 \\ \frac{\partial^2 D(0, s)}{\partial x^2} &= 0 & \frac{\partial^2 D(l, s)}{\partial x^2} &= 0 \end{aligned} \quad (22)$$

无论是直接利用差分法还是采用模态分析法求解上述方程均要得到 $F(x, s)$ ，我们将 $f(x, t)$ 分为激振力 $f_e(x, t)$ 与网格作用力 $f_s(x, t)$ 两种。其中网格作用力 $f_s(x, t)$ 又包括支撑力 $f_s^n(x, t)$ 与摩擦力 $f_s^t(x, t)$ 两种。

$$f_s^n(x, t) = \begin{cases} k_s \cdot \text{sign}(d) \cdot [gap - |d(x, t)|] & |d| \geq gap \\ 0 & |d^n| < gap \end{cases} \quad (23)$$

$$f_s^t(x, t) = -\mu \cdot f_s^n \cdot \text{sign}(v^t) \quad (24)$$

考虑支撑力与摩擦力的 Laplace 变换

$$F_s^n(x, s) = k_s \left[\frac{gap}{s} + \int_{\{t|d(x,t)<-gap\}} e^{-st} d(x, t) dt - \int_{\{t|d(x,t)>gap\}} e^{-st} d(x, t) dt \right] \quad (25)$$

$$F_s^t(x, s) = -\mu f_s^n \left[\int_{\{t|v(x,t)>0\}} e^{-st} dt - \int_{\{t|v(x,t)<0\}} e^{-st} dt \right] \quad (26)$$

因此要得到 f_s 的 Laplace 变换要求要已知整个时间轴的 $d(x, t)$ 。